

津波による養殖筏の挙動に関する実験的研究

徳島大学工業短期大学部

正員 村上 仁士

同 上

正員 細井 由房

徳島大学大学院

学生員・津野 道房

1. まえがき： 近年、栽培漁業の発達に伴い、多くの養殖施設が、内湾や入江のような波浪、潮流および風などの影響の少ない浅海域に設置されるようになり、これらの養殖施設を津波や高潮などの災害から護ることが重要な課題となるべきである。本研究は、津波来襲時の養殖筏の流動条件や流出形態を求める第一段階として孤立波を用いて筏の係留索に働く張力および筏の挙動について実験的に考察したものである。

2. 実験装置および実験方法： 実験には、長さ 13.0 m、幅 0.6 m、深さ 0.3 m の水路を用い、その一端に設けた仕切り板の昇降により孤立波を発生させた。本研究で用いた養殖筏は、小割り施設のような 10 m の垂下施設を有する 1 辺 4.5 m 四方の筏が並列して 6 個連結されて、水深 2.0 m の海域に設置され、筏の 4 隅に係留索を直接結び、海底の係留基礎に連結しておきたいと想定している。なお、実験における縮尺は、フルード則に基づき、 $1/100$ とされている。さらに、対象とする津波のマニチュード m は -1 から 0 および 1 である。すなわち、学んだ孤立波の波高は m から -1 から 0 のときは、1 cm 前後で、 m か 1 のときは、2 cm 前後となる。本実験に用いた筏モデルは、空隙率が 0.6 および 0 (空隙がない場合) の 2 種類である。全実験を通じて水深 h は、通常の筏の設置水深を考慮して 20 cm であり、係留索は水底にひずみゲージを貼付してある 45° に突出させたアクリル板 (ひずみ測定装置、図-1 参照) に連結されており、その先端に円形の止め金を取り付け、筏模型の上端の 4 隅に連結できるようになっている。係留索の長さとは、水深 h の 1.3 倍および 2 倍であり、その係留方法は、図-2 に示すように水の流れ方向に対して水平係留角度 β をもつておあり、その角度は 25°、45° および 60° の 3 種類である。図-1 および図-2 に示すように静水状態中に筏モデルを設置し、孤立波を発生させて筏モデル 4 本の係留索に作用する張力を測定した。測定法は、索に張力が働くときアクリル板が曲げられるか、その曲がりをひずみゲージを用いて検出する方法である。また、これと同時に筏の挙動をビデオカメラに録画せしむ。表-1 には、実験諸元を示している。

3. 実験結果および考察： (1) 索張力に及ぼす波高および空隙率の影響； 図-3 は、 $\alpha/h = 1.3$ 、 $\beta = 45^\circ$ の場合の波高と張力との関係を示している。この図より、波高の増加に伴い張力は増大するが、その増大の傾向は上流側で特に顕著となることがわかる。さらに、養殖筏に付着物が急増した場合のように筏の空隙率が急激に減少すれば、上流側、下流側のいずれの張力も増大し、筏施設が破壊され、流出することもあり得るこれが示唆される。

表-1 実験諸元

	$e=0.62$	$e=0$
α/h	$25^\circ, 45^\circ, 60^\circ$	$25^\circ, 45^\circ, 60^\circ$
	$H=0.6 \sim 1.4$ 3 種類	$H=0.6 \sim 1.4$ 3 種類
	$H=1.8 \sim 2.6$ 4 種類	$H=1.8 \sim 2.6$ 4 種類
	25°	25°
2	$H=0.6 \sim 1.4$ 2 種類	$H=0.6 \sim 1.4$ 2 種類
	$H=1.8 \sim 2.6$ 4 種類	$H=1.8 \sim 2.6$ 4 種類

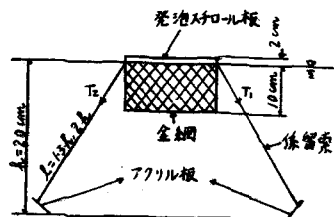


図-1 実験モデル

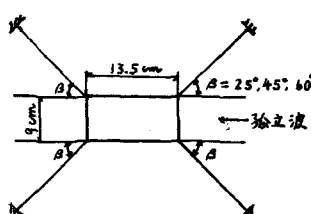


図-2 係留方法

(2) 索張力に及ぼす水平係留角度の影響； 図-4および図-5
は、 $t/h = 1.3$, $\epsilon = 0$ の場合の水平係留角度 β の変化に伴う上下流側の索に働く張力の変化を示したものである。この二つの図より、係留索の長さが一定の場合、 β が大きくなれば、張力は単純に減少するではなく、上流側張力 T_1 では、 β がある値で極値をもち、本実験の範囲では β が 45° のとき極大値をとり、逆に、下流側張力 T_2 は、極小値をとるという極めて興味ある傾向があることが知られる。

(3) 索張力に及ぼす索長の影響； 図-6および図-7は、空隙率が0.6の場合について $t/h = 1.3$ および $\epsilon = 0$ に対する張力と索長との関係を示したものである。これより、水平係留角度 β が一定の場合、係留索の長さが長くなるほど、上流側張力 T_1 は大きくなるが、下流側張力 T_2 はこのような特性は見られなかった。

(4) 箕の挙動について； 図-8は、箕モードルに孤立波が作用した場合の箕の挙動を示したものである。箕の挙動より、上流側張力 T_1 の値が最大になり直後に下流側張力 T_2 の値が最大になることがわかった。

図-4 水平係留角度と張力との関係

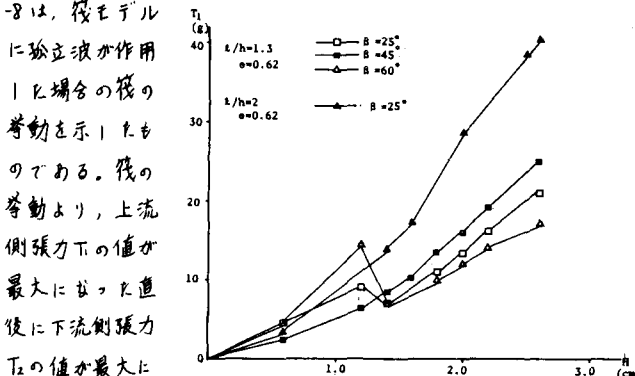


図-5 索長と張力との関係

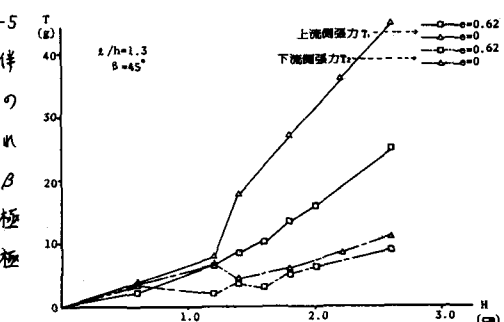


図-3 波高と張力との関係

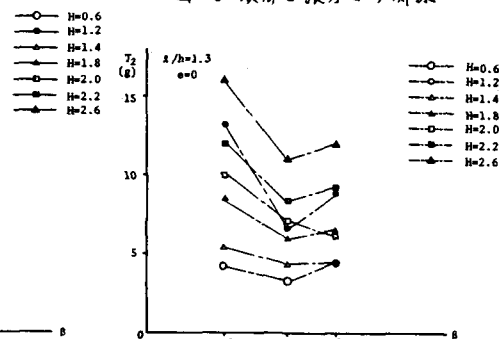


図-5 水平係留角度と張力との関係

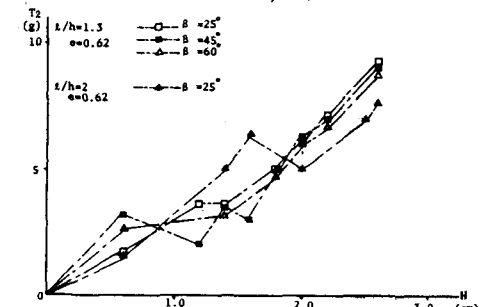


図-7 索長と張力との関係

4. あとがき： 養殖箕の流出防止対策として次のようなことが考えられる。すなはち、上流側張力 T_1 が下流側張力 T_2 よりも大きくなつたため、これをいかに軽減せしむるの値の差を小さくするのかが重要な課題である。さらに、本実験では、箕モードルに孤立波を用いて張力を調べたものであるが、この場合の理論解析は、現象が複雑であるため、今後の研究課題にする必要がある。なお、津波を定常流と考えた場合との比較は、講演時に発表する予定である。最後に、本研究の一部は、文部省科学研究所（自然災害特別；代表者堀川清司東大教授）による補助を受けたことを付記し謝意を表す。

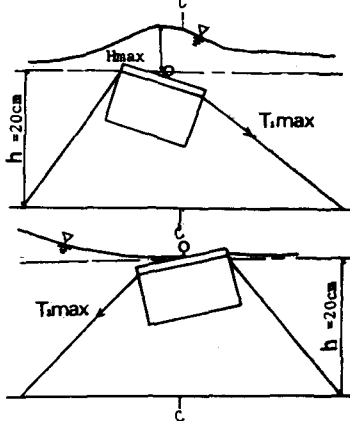


図-8 箕の挙動